

К расчету термических напряжений при конвективном нагреве пластины

ГОРБУНОВ А.Д.

Днепродзержинский государственный технический университет

Разработана инженерная методика расчета термических напряжений при конвективном нагреве плоских тел. Ключевые слова: аналитический расчет, нагрев, термическое напряжение, пластина.

Rozrobлено inzhenernu metodiku analitichnogo rozrakhunku termichnih napruzhenn' pri konvektivnomu nagrivan'ni плоских тіл. Ключові слова: аналітичний розрахунок, термічні напруження, нагрівання, пластина

The article represents the developed engineering technique of thermal tension during convective heating of flat bodies. Key words: analytical calculations, heating, thermal tension, flat.

Постановка проблемы и анализ публикаций.

Без знания температурных полей и термических напряжений внутри массивного тела невозможно назначить рациональные энерго- и материалосберегающие тепловые и температурные режимы печей или других агрегатов, связанных с тепловой обработкой материалов, например, сушильных установок, химических реакторов и т. п. При значительных скоростях нагрева в пластине могут возникать термические напряжения, превышающие допустимые для данного материала, приводящие в некоторых случаях даже к разрушению тела.

В работе [1] приведены аналитические решения для расчета относительных термических напряжений в любой точке неограниченной пластины при ее конвективном нагреве в печи с постоянной температурой греющей среды t_c

$$\tilde{\sigma}(X, Fo) = \theta_{cp}(Fo) - \theta(X, Fo), \quad (1)$$

на поверхности при $X=1$

$$\tilde{\sigma}_n(Fo) = \theta_{cp}(Fo) - \theta_n(Fo) = \sum_{n=1}^{\infty} D_n(\mu_n) e^{-\mu_n^2 Fo} \quad (2)$$

и в центре пластины при $X=0$

$$\tilde{\sigma}_c(Fo) = \theta_{cp}(Fo) - \theta_c(Fo) = \sum_{n=1}^{\infty} C_n(\mu_n) e^{-\mu_n^2 Fo}, \quad (3)$$

ГДЕ $\tilde{\sigma} = \sigma/\sigma_0$ — безразмерные термические напряжения, $0 \leq \tilde{\sigma} \leq 1$; $\sigma_0 = \beta E \Delta t_0 / (1-\nu)$ — максимально возможные термические напряжения, Па.

Здесь относительные температуры:

в любой точке $X = x/R_0$

$$\theta(X, Fo) = \sum_{n=1}^{\infty} P_n(\mu_n) \cdot (\cos \mu_n X / \cos \mu_n) e^{-\mu_n^2 Fo}, \quad (4)$$

на поверхности

$$\theta_n(Fo) = \sum_{n=1}^{\infty} P_n(\mu_n) \cdot e^{-\mu_n^2 \cdot Fo}, \quad (5)$$

в центре

$$\theta_c(Fo) = \sum_{n=1}^{\infty} A_n(\mu_n) \cdot e^{-\mu_n^2 \cdot Fo} \quad (6)$$

и среднемассовая

$$\theta_{cp}(Fo) = \sum_{n=1}^{\infty} M_n(\mu_n) \cdot e^{-\mu_n^2 \cdot Fo}, \quad (7)$$

где $\theta(Fo) = (t(\tau) - t_c) / \Delta t_0$; $\Delta t_0 = t_0 - t_c$; t_0 — начальная температура тела, °С; $Fo = \alpha t / R_0^2$ — число Фурье; $Bi = \alpha R_0 / \lambda$ — число Био; $P_n(\mu_n) = 2Bi / [Bi(Bi + 1) + \mu_n^2]$ — тепловая амплитуда; $A_n(\mu_n) = P_n(\mu_n) / \cos \mu_n$; $M_n(\mu_n) = P_n(\mu_n) \cdot Bi / \mu_n^2$; $C_n(\mu_n) = M_n(\mu_n) - A_n(\mu_n)$; $D_n(\mu_n) = M_n(\mu_n) - P_n(\mu_n)$;

μ_n — собственные числа, определяемые характеристическим уравнением:

$$\operatorname{ctg} \mu_n = \mu_n / Bi. \quad (8)$$

Решая совместно уравнения (2) и (3), можно получить формулу связи между термонапряжениями в центре и на поверхности

$$\tilde{\sigma}_n(Fo) = -\Delta \theta(Fo) + \tilde{\sigma}_c(Fo), \quad (9)$$

где относительный перепад температур получается путем вычитания из (5) уравнения (6)

$$\Delta \theta(Fo) = \theta_n - \theta_c = \sum_{n=1}^{\infty} E_n(\mu_n) \cdot e^{-\mu_n^2 Fo} \quad (10)$$

в котором $E_n(\mu_n) = P_n(\mu_n) - A_n(\mu_n)$.

Из анализа уравнений (2), (3), (9) и (10) следует, что динамика изменения напряжений во времени аналогична изменению температурной разности, т.е. резко возрастают, достигая максимального значения при числах Фурье $Fo_{max} = 0,05 \dots 0,50$, а затем постепенно падают, т.е. несут колоколообразный характер.

На практике иногда важнее знать не всю динамику изменений напряжений во времени, а только их максимально возможные характерные величины. Целью данной работы является аналитическое определение указанных величин.

Изложение материалов исследования. Дифференцируя уравнения (2), (3) и (10) по времени, приравняв производную нулю и используя два члена суммы ряда, получим формулы для расчёта максимальных времен Фурье:

для максимального термического напряжения на поверхности

$$Fo_{m,п} = (1/a) \ln(1/b_n), \quad (11)$$

перепада температур

$$Fo_{max} = \frac{1}{a} \ln \frac{1}{b} \quad (12)$$

и термонапряжения в центре

$$Fo_{m,ц} = (1/a) \ln(1/b_c), \quad (13)$$

где $a = \mu_2^2 - \mu_1^2$; $b_n = -\delta D_1 / D_2$; $b_c = -\delta C_1 / C_2$; $b = -\delta E_1(\mu_1) / E_2(\mu_2)$; $\delta = (\mu_1 / \mu_2)^2$.

Здесь и далее под E_i понимается амплитуда $E_i(\mu_i)$.

Подставляя Fo_{max} из (12) в уравнение (10), получим максимальный перепад температур с учётом двух членов ряда:

$$\begin{aligned} \Delta \theta_m &= E_1 e^{-\mu_1^2 Fo_{max}} \left(1 + E_1 / E_2 \cdot e^{-a Fo_{max}} \right) = \\ &= (1 - \delta) E_1(\mu_1) e^{-\mu_1^2 Fo_{max}} \end{aligned} \quad (14)$$

При выводе (14) было учтено, что согласно уравнению (12) $\exp(-aFo_{max}) = b$.

По аналогии подставляя $Fo_{m,п}$ в уравнение (2), получим максимальное термическое напряжение на поверхности

$$\tilde{\sigma}_{m,п} = (1-\delta)D_1 \cdot e^{-\mu_1^2 Fo_{m,п}} \quad (15)$$

и после подстановки (13) в (3) — максимальное напряжение в центре пластины

$$\tilde{\sigma}_{m,ц} = (1-\delta)C_1 e^{-\mu_1^2 Fo_{m,ц}}. \quad (16)$$

Анализ полученных решений. Формулы (11)...(13) однотипны и могут быть описаны одним уравнением

$$Fo_{m,j} = (l/a) \ln(l/b_j). \quad (17)$$

При $j=1,3$ имеем расчет напряжений на поверхности и в центре, а при $j=2$ — перепада температур. После определения максимальных времен можно найти соответствующие температуры при этих числах Фурье с учетом двух членов ряда.

Подставляя $Fo_{m,j}$ в уравнение (5), получим температуру поверхности

$$\theta_{п,j} = (P_1 + b_j P_2) \exp(-\mu_1^2 \cdot Fo_{m,j}), \quad (18)$$

в (6) — температуру центра

$$\theta_{ц,j} = (C_1 + b_j C_2) \exp(-\mu_1^2 \cdot Fo_{m,j}), \quad (19)$$

в соотношении (7) — среднemasсовую

$$\theta_{ср,j} = (M_1 + b_j M_2) \exp(-\mu_1^2 \cdot Fo_{m,j}), \quad (20)$$

и в (10) перепад температур

$$\Delta\theta_j = (E_1 + b_j E_2) \exp(-\mu_1^2 \cdot Fo_{m,j}). \quad (21)$$

Наибольшую и основную трудность при практических расчётах по уравнениям (1)...(21) представляет определение по соотношению (8) бесчисленного множества корней. В работе [2] приведена общая формула для расчета первого корня для тел простой формы

$$\mu_1 = \sqrt{D/\gamma}, \quad (22)$$

где $D = kBi/m$; $m = 1 + Bi/(k+2)$ — коэффициент термической массивности; $\gamma = (1 + \sqrt{1+4\rho})/2$; $\rho = D^2/[k(k+2)^2(k+4)]$; k — коэффициент геометрической формы, равный 1 — для пластины, 2 — цилиндра и 3 — шара.

Для определения приближенных значений остальных корней следует различать два характерных случая нагрева — при больших и малых числах Био [3].

При малых числах Био ($Bi < 3$)

$$\mu_n = b_{n-1} + z_n, \quad (23)$$

где $z_n = G_1/\gamma$; $G_1 = Bi/b_n$; $\rho_1 = G_1^2/D$; $b_n = n \cdot \pi$; $n = 1, 2, 3, \dots$

При больших числах Био ($Bi \geq 3$)

$$\mu_n = a_n - G_2/\gamma \approx a_n(1 - \beta(1 - \beta)), \quad (24)$$

где $G_2 = a_n/(1 + Bi)$; $\rho_2 = G_2^2/3$; γ — см. уравнение (22); $a_n = (2n-1)\pi/2$; $\beta = 1/Bi$.

При выводе (24) было учтено, что при малых аргументах $1/(1+x) \approx 1-x$.

В двух предельных случаях — малые и большие числа Био, полученные решения значительно упрощаются. Предварительно упростим расчет тепловой амплитуды $A(\mu_n)$. Используя тригонометрическое тождество $1/\cos x = \sqrt{1 + \tan^2 x}$ и характеристическое уравнение (8), можно записать

$$1/\cos \mu_n = (-1)^{n+1} \cdot \sqrt{1 + m_n \cdot Bi}, \quad (25)$$

где $m_n = Bi/\mu_n^2$ — n -ый коэффициент термической массивности. С учетом последнего выражения тепловая амплитуда, входящая в уравнение (6) определения температуры центра пластины станет

$$A_n(\mu_n) = P_n(\mu_n) (-1)^{n+1} \sqrt{1 + m_n Bi}. \quad (26)$$

Теперь получим упрощенные выражения для других амплитуд в двух предельных случаях.

Асимптотика при малых числах Био. Первый корень уравнения (8) вычисляем по соотношению (22) при $\gamma \approx 1$ и $m_1 = 1 + Bi/3$, а второй — по (23). Тогда отношение собственных чисел или коэффициентов термической массивности

$$\delta = (\mu_1/\mu_2)^2 = m_2/m_1 = x/[(1+2x) \cdot m_1] \approx x(1 - Bi/3), \quad (27)$$

где $x = Bi/\pi^2$.

Разность квадратов корней $a = \mu_2^2 - \mu_1^2 = \pi^2 - Bi(1 - 2/\pi) \approx \pi^2$.

Первая амплитуда, входящая в уравнение (5) температуры поверхности

$$P_1 = 2/(1 + Bi + 1/m_1) \approx 1/m_1 \approx 1 - Bi/3. \quad (28)$$

По аналогии вторая $P_2 = 2/(1 + Bi + 1/m_2) \approx 2m_2 = 2\delta m_1$ и

$$P_n(\mu_n) = 2/(1 + Bi + 1/m_n). \quad (29)$$

Амплитуда A_1 согласно уравнению (26) и с учетом того, что при малых аргументах $\sqrt{1+x} \approx 1+x/2$:

$$A_1 = P_1 \sqrt{1 + m_1 Bi} \approx P_1(1 + m_1 Bi/2) \approx 1 + Bi/6. \quad (30)$$

Амплитуда $A_2 = -P_2 \sqrt{1 + m_2 Bi} \approx -P_2(1 + \delta m_1 Bi/2) \approx -P_2$.

Для среднemasсовой температуры:

$$M_1 = P_1 \cdot m_1 \approx 1 - Bi^2/9 \text{ и } M_2 = P_2 \cdot m_2 = P_2 \cdot \delta m_1. \quad (31)$$

Для перепада температур по уравнению (10)

$$E_1 = P_1 - A_1 = P_1(1 - \sqrt{1 + m_1 Bi}) \approx -P_1 m_1 Bi/2 \approx -Bi(1 - Bi^2/9)/2 \approx -Bi/2, \quad (32)$$

$$E_2 = P_2(1 + \sqrt{1 + m_2 Bi}) \approx 2P_2(1 + \delta m_1 Bi/4) \approx 2P_2.$$

Для термических напряжений в центре пластины по (3)

$$C_1 = M_1 - A_1 = P_1(m_1 - \sqrt{1 + m_1 Bi}) \approx -P_1 \cdot Bi/6, \quad (33)$$

$$C_2 = P_2(m_2 + \sqrt{1 + m_2 Bi}) \approx P_2(1 + \delta m_1(1 + Bi/2)).$$

Для термонапряжений на поверхности

$$D_1 = M_1 - P_1 = Bi(3 - P_1)/6 \approx Bi(1 + Bi/6)/3, \quad (34)$$

$$D_2 = -P_2(1 - \delta m_1(1 - Bi)).$$

С целью проверки амплитуды D можно использовать равенство $D = C - E$.

Выражения для расчета максимальных времен по уравнению (17) также упрощаются.

Коэффициент поверхности ($j = 1$)

$$b_{п} = -\delta D_1/D_2 = \text{Bi}(1 - \text{Bi}/6)/6 \approx \text{Bi}/6,$$

для перепада температур ($j = 2$)

$$b = -\delta E_1/E_2 = \text{Bi}(1 - \text{Bi}/3)/8 \approx \text{Bi}/8 \quad (35)$$

и центра ($j = 3$)

$$b_{ц} = -\delta C_1/C_2 = \text{Bi}(1 - 2\text{Bi}/3)/12 \approx \text{Bi}/12.$$

Анализ уравнений (17) и (35) позволяет сделать вывод о том, что максимум величин наступает в последовательности $j = 1, 2, 3$ и с ростом числа Био эти времена уменьшаются.

Для оценки различия максимальных времен составим их разности:

$$\begin{aligned} \Delta\text{Fo}_1 &= \text{Fo}_{\text{max}} - \text{Fo}_{\text{м.п}} = (1/a)\ln(4(1 + \text{Bi}/6)/3) \approx \\ &\approx (1/\pi^2)\ln 4/3 = 0,029148; \\ \Delta\text{Fo}_2 &= \text{Fo}_{\text{м.ц}} - \text{Fo}_{\text{max}} = (1/a)\ln(3(1 + \text{Bi}/3)/2) \approx \\ &\approx (1/\pi^2)\ln 3/2 = 0,04108 \end{aligned} \quad (36)$$

и

$$\begin{aligned} \Delta\text{Fo}_3 &= \text{Fo}_{\text{м.ц}} - \text{Fo}_{\text{м.п}} \equiv \Delta\text{Fo}_1 + \Delta\text{Fo}_2 = \\ &= (1/a)\ln(2(1 + \text{Bi}/2)) \approx (1/\pi^2)\ln 2 = 0,0702. \end{aligned}$$

Из (36) следует, что с ростом числа Био различия максимальных времен увеличиваются, вплоть до $\Delta\text{Fo}_3 = 0,117$ – см. уравнение (44).

На практике технологов интересует вопрос — насколько термические напряжения на поверхности тела больше, чем в его середине. Обозначим их отношение $R = \sigma_{п}/\sigma_{ц}$. Наиболее просто R можно найти в стадии регулярного режима нагрева (РРН), который наступает при числах Фурье $\text{Fo} > 0,3$ и когда вместо бесконечных сумм в уравнениях (2)...(10) можно ограничиться одним членом ряда. Тогда, деля уравнение (2) на (3) и учитывая упрощенные соотношения (33) и (34), получим

$$\begin{aligned} R &= \tilde{\sigma}_{п}/\tilde{\sigma}_{ц} = D_1/C_1 = -2(1 + \text{Bi}/6)/P_1 \approx \\ &\approx -2(1 + \text{Bi}/2) \approx -2. \end{aligned} \quad (37)$$

Асимптотика при больших числах Био. Теперь корни μ_n находим по уравнению (24). Тогда отношение

$$\delta = (1 - 4\pi^2\beta^3/3)/9 \approx 1/9. \quad (38)$$

Разность квадратов корней

$$a = 2\pi^2(1 - \beta)^2, \quad (39)$$

где $\beta = 1/\text{Bi}$; $B = \beta(1 - \beta)$.

Амплитуды:

$$P_1 = 2\beta/(1 + \beta + z^2) \approx 2\beta(1 - \beta - z^2) \approx 2B;$$

$$P_2 = 2\beta(1 - \beta - 9z^2) \approx 2B \equiv P_1,$$

где $z = \mu_1/\text{Bi} = a_1 \cdot B$; $a_1 = \pi/2$.

$$A_1 = A_{1,\infty} \cdot \sqrt{1 - z^2} \approx A_{1,\infty} \cdot (1 - z^2/2);$$

$$A_2 = A_{2,\infty} \cdot \sqrt{1 - 9z^2} \approx A_{2,\infty} \cdot (1 - 9z^2/2),$$

где $A_{1,\infty} = 2/a_1 = 4/\pi = 1,273240$ и $A_{2,\infty} = -A_{1,\infty}/3 = -0,424413$ — амплитуды при $\text{Bi} = \infty$.

$M_1 = M_{1,\infty}(1 + \beta)$; $M_2 = M_{2,\infty}(1 + \beta)$, где

$$M_{1,\infty} = 2/a_1^2 = 8/\pi^2 = 0,810569; M_{2,\infty} = M_{1,\infty}/9.$$

$$C_1 = M_{1,\infty}(1 + \beta) - A_{1,\infty} \cdot \sqrt{1 - z^2};$$

$$C_{1,\infty} = M_{1,\infty} - A_{1,\infty} = 2(1 - a_1)/a_1^2 = -0,462670;$$

$$C_2 = M_{2,\infty}(1 + \beta) - A_{2,\infty} \cdot \sqrt{1 - 9z^2};$$

$$C_{2,\infty} = M_{2,\infty} - A_{2,\infty} = 2(3a_1 + 1)/(9a_1^2) = 0,514476.$$

$$E_1 = 2B - A_{1,\infty}\sqrt{1 - z^2}; E_{1,\infty} = -A_{1,\infty};$$

$$E_2 = 2B - A_{2,\infty}\sqrt{1 - 9z^2}; E_{2,\infty} = -A_{2,\infty} = A_{1,\infty}/3.$$

$$D_1 = M_1 - P_1 = M_{1,\infty}(1 + \beta) - 2B; D_{1,\infty} = M_{1,\infty};$$

$$D_2 = M_{2,\infty}(1 + \beta) - 2B;$$

$$D_{2,\infty} = \delta \cdot M_{1,\infty} = M_{1,\infty}/9 = 0,0900633$$

Теперь коэффициенты для расчета максимальных времен примут вид:

$$b_{п} = \frac{\delta[M_{1,\infty}(1 + \beta) - 2B]}{-M_{2,\infty}(1 + \beta) + 2B}; \quad (40)$$

$$b = \frac{\delta[A_{1,\infty}\sqrt{1 - z^2} - 2B]}{-A_{2,\infty}\sqrt{1 - 9z^2} + 2B}; \quad (41)$$

$$b_{ц} = \frac{\delta[A_{1,\infty}\sqrt{1 - z^2} - M_{1,\infty}(1 + \beta)]}{-A_{2,\infty}\sqrt{1 - 9z^2} + M_{2,\infty}(1 + \beta)}; \quad (42)$$

В предельном случае при $\text{Bi} = \infty$:

$$b_{п,\infty} = -\delta_{\infty} D_{1,\infty}/D_{2,\infty} = -M_{1,\infty}/(9M_{2,\infty}) = -1;$$

$$b_{\infty} = -\delta_{\infty} A_{1,\infty}/A_{2,\infty} = 1/3;$$

$$b_{ц,\infty} = -\delta_{\infty} C_{1,\infty}/C_{2,\infty} = (a_1 - 1)/(3a_1 + 1) = 0,0999225 \approx 0,1. \quad (43)$$

Так как $b_{п,\infty} = -1$ лишено физического смысла, следует взять $b_{п,\infty} = |1|$.

Тогда наименьшие максимальные времена согласно (17) при $a_{\infty} = 2\pi^2$ будут:

$$\text{Fo}_{\text{м.п.}\infty} = 0, \quad \text{Fo}_{\text{max.}\infty} = (1/2\pi^2)\ln 3 = 0,0556563$$

$$\text{и } \text{Fo}_{\text{м.ц.}\infty} = (1/2\pi^2)\ln(1/b_{ц,\infty}) = 0,116690. \quad (44)$$

Подставляя (44) в уравнение (3), получим максимально возможное термическое напряжение в центре пластины

$$\tilde{\sigma}_{\text{м.ц.}\infty} = (1 - \delta_{\infty}) C_{1,\infty} \cdot \exp(-a_1^2 \text{Fo}_{\text{м.ц.}\infty}) = -0,308373. \quad (45)$$

Термонапряжение на поверхности при времени $\text{Fo}_{\text{м.ц.}\infty}$

$$\tilde{\sigma}_{\text{п.м.}\infty} = D_{1,\infty} \exp(-a_1^2 \text{Fo}_{\text{м.ц.}\infty}) +$$

$$+ D_{2,\infty} \exp(-9a_1^2 \text{Fo}_{\text{м.ц.}\infty}) = 0,614530,$$

перепад температур

$$\Delta\theta_{1,\infty} \equiv \theta_{\delta,\infty} = E_{1,\infty} \exp(-a_1^2 \text{Fo}_{1,\delta,\infty}) +$$

$$+ E_{2,\infty} \exp(-9a_1^2 \text{Fo}_{1,\delta,\infty}) = -0,922904$$

и отношение напряжений в этот момент времени

$$R = \sigma_{п}/\sigma_{ц} = 0,6145/(-0,3084) = -1,9928.$$

Последняя несколько больше, чем отношение $R_{\infty} = D_{1,\infty}/C_{1,\infty} = (1 - \beta\mu_1)/(1 - \mu_1) \approx 1/(1 - a_1) = -1,7521$, которое получено для стадии РРН с учетом первого члена ряда.

Следует отметить, что если приближенно считать $R = -2$, то из уравнения (9) будем иметь

$$\bar{\sigma}_1 = -(2/3) \cdot \Delta\theta(Fo) \quad (46)$$

и это соотношение полностью совпадает с формулой Н.Ю. Тайца [4]

$$\sigma_{II}(\tau) = (2/3)\beta E \Delta t(\tau)/(1-\nu). \quad (47)$$

Из анализа уравнения (40) вытекает, что коэффициент b_{II} меняет знак по причине изменения знака амплитуды D_2 , изменяющейся от $-Bi/\pi^2$ при малых числах Био до $D_{2,\infty} = +0,09$. Из условия равенства нулю D_2 можно получить граничное число $Bi_M = 20$ выше которого имеем случаи нагрева термически «массивного» тела. Таким образом, при числах $Bi < Bi_M$ для определения времени $Fo_{M,II}$ можно применять формулу (11) в которой b_{II} определяется по уравнению (40), а при $Bi > Bi_M$ коэффициент b_{II} становится отрицательным и нельзя пользоваться формулой (11). Возникшую ситуацию можно объяснить следующим образом. Формулы (11)...(21) получены с учетом всего двух членов ряда. С ростом числа Био максимальное время $Fo_{M,II}$ уменьшается, вплоть до 0 при $Bi = \infty$.

При очень малых числах Фурье ($Fo < 0,1$) расчёт температур по уравнениям (2)...(10) затруднителен из-за необходимости учета большого количества членов ряда, ввиду его плохой сходимости. В этом случае для расчёта поверхностной и среднemasсовой температур можно использовать формулы, полученные методом операционного исчисления в работе [1]:

$$\theta_{II}(Fo) = \varphi(y(Fo)), \quad (48)$$

$$\theta_{cp}(Fo) = 1 - \int_0^{Fo} Bi \cdot \theta_{II}(Fo) dFo = 1 - \beta\Phi(y), \quad (49)$$

где $\varphi(y) = e^{-y^2} \operatorname{erfc}y$; $\Phi(y) = \gamma^2 \int_0^{\tau} \varphi(y) d\tau = \varphi(y) + py - 1$;

$p = \frac{2}{\sqrt{\pi}} = 1,128379$; $\operatorname{erfc}y = (1 - \operatorname{erf}y)$ — дополнительный интеграл вероятностей; $\operatorname{erf}y = \frac{2}{\sqrt{\pi}} \cdot \int_0^y e^{-x^2} dx$ —

функция ошибок Гаусса; $y = Bi\sqrt{Fo} = Ti$ — безразмерное время, число Тихонова, может быть записано также в виде: $y = \gamma\sqrt{\tau}$, где $\gamma = \frac{\alpha}{b}$ — служит мерой тепловой инерции, $c^{0,5}$; $b = \sqrt{\lambda c\rho}$ — коэффициент тепловой аккумуляции тела или коэффициент теплоусвоения, Вт·с^{0,5}/м²·К.

Сопоставление приближенных зависимостей (48) и (49) с точными решениями (5) и (7) показало, что погрешность уравнения (49) при расчете средней температуры гораздо меньше, чем уравнения (48) для температуры поверхности.

Так, например, в случае нагрева при $Bi = 1$ формулой (48) можно пользоваться с относительной погрешностью $\delta t_{II} = (t_{II}^{\text{точное}} - t_{II}^{\text{прибл}}) \cdot 100 / t_{II}^{\text{точн}}$ менее + 5% при времени начальной стадии от 0 до $Fo_{н.с} = 0,5$, а формулой (49) с погрешностью $\delta t_{cp} \leq -5\%$ до момента времени $Fo_{н.с} = 1,0$.

Знаки перед погрешностями δt означают, что температура поверхности при расчете по уравнению (48) занижена, а средняя температура по (49) — завышена по сравнению с точными значениями. При расчетах процессов охлаждения знаки погрешностей поменяются на обратные.

Решения (48) и (49) можно упростить путем разложения функции $\varphi(y)$ в ряд при малых ($y < 1$):

$$\varphi(y) = 1 - py + y^2 - \frac{2p}{3}y^3 + \frac{y^4}{2!} \dots \quad (50)$$

и при больших ($y \gg 1$) аргументах:

$$\varphi(y) = \frac{1}{\sqrt{\pi}y} [1 - u(1 - 3u(1 - 5u(1 - \dots)))], \quad (51)$$

где $u = 1/(2y^2)$.

Графическое решение уравнений (48) и (49) приведено на рисунке 1.

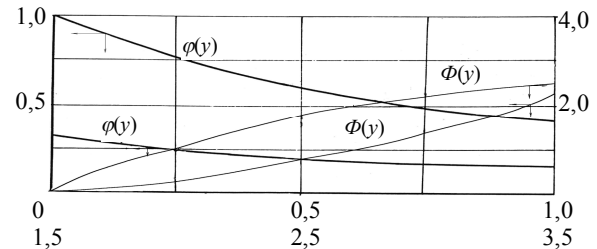


Рис. 1. Зависимость функций φ и Φ от времени $y = \gamma\sqrt{\tau}$

Интересно отметить, что, в отличие от уравнения (5), где температура поверхности зависит от двух величин — числа Био и Фурье, из уравнения (48) следует, что θ_{II} зависит только от одного параметра — числа Тихонова $Ti = Bi\sqrt{Fo}$. Вместо семейства кривых (5) на рисунке 1 имеем всего одну линию. Решения, подобные (48), когда исчезает зависимость процесса от какого-либо параметра, принято называть автономными.

С учетом сказанного уравнение (2) для расчета термических напряжений на поверхности примет вид

$$\begin{aligned} \bar{\sigma}_{II}(Fo) &= 1 - \beta\Phi(y) - \varphi(y) = \\ &= -\beta py + (1 + \beta)(1 - \varphi(y)), \end{aligned} \quad (52)$$

где $\beta = 1/Bi$.

Вместо уравнения (5) будет (48), а вместо (7) — (49). Температуру в центре тела на начальной стадии нагрева ($Fo < 0,1$) приближенно можно принять $\theta_{II} \cong 1$.

Дифференцируя уравнение (52) по времени и приравнявая производную нулю с учетом разложений (50) и (51), получим при малых ($y < 1$)

$$y_{M,II} = 1/(\sqrt{\pi}(1 + \beta)), Fo_{M,II} = (\beta y_{M,II})^2 = 1/[\pi(1 + Bi)^2] \quad (53)$$

и больших аргументах ($y \geq 1$)

$$y_{M,II} = \sqrt{(1 + Bi)/2}, Fo_{M,II} = \beta(1 + \beta)/2. \quad (54)$$

Таким образом, при больших числах Био ($Bi > Bi_M$) расчет времени $Fo_{M,II}$ вместо (11) следует производить по уравнению (53) или (54).

Расчет Fo_{max} по (12) с учетом (41) даст

$$Fo_{max} = Fo_{max,\infty} / (1-B)^2. \quad (55)$$

Иногда требуется определить расположение координаты X_n нейтрального слоя в котором термические напряжения меняют знак с $+\tilde{\sigma}$ на $-\tilde{\sigma}$, т.е. в этой точке равны нулю. Наиболее просто это можно сделать в стадии РРН. Тогда согласно уравнению (1) $\theta_{cp}(Fo) = \theta(X_n, Fo)$ или $M_1 = P_1 (\cos(\mu_1 X_n)) / (\cos \mu_1)$. Разрешая последнее выражение относительно X_n , получим

$$X_n = (1/\mu_1) \arccos S, \quad (56)$$

где $S = \sin \mu_1 / \mu_1 \approx m_1 / \sqrt{1+m_1 Bi}$.

При малых числах Био $S \approx 1 - Bi$. Тогда с учетом тригонометрического тождества $\arccos x = \arcsin \sqrt{1-x^2}$ и разложения в ряд $\arcsin x \approx x$, будем иметь

$$X_n = \sqrt{Bi / (3\mu_1^2)} \approx 1/\sqrt{3} = 0,57735. \quad (57)$$

При больших числах Био

$$S \approx 1/\mu_1 \text{ и } X_n = (1/\mu_1) \arccos(1/\mu_1). \quad (58)$$

В предельном случае при $Bi = \infty$, $X_{n,\infty} = (1/a_1) \arccos(1/a_1) = 0,560683$. Таким образом, поскольку $X_n > 0,5$ нейтральные слои расположены несколько ближе к поверхности, а само X_n колеблется в узких пределах — от 0,56 до 0,58.

Следует отметить, что при нагреве абсолютные, т.е. размерные термические напряжения $\sigma = \sigma_0 \cdot \tilde{\sigma}$ меняют знаки за счет отрицательности σ_0 из-за $\Delta t_0 = (t_0 - t_{ж}) < 0$.

В заключение укажем, что все полученные решения описывают как процесс конвективного нагрева плоских тел, так и их охлаждение.

Рассмотрим численный пример, взятый из [4].

В печи необходимо нагреть плиту толщиной 0,25 м из стали со следующими теплофизическими свойствами: $\lambda = 29$ Вт/(м·К), $a = 0,69 \cdot 10^{-5}$ м²/с, коэффициент теплоотдачи в печи $\alpha = 122$ Вт/(м²·К), температура печи $t_{ж} = 900$ °С; Начальная температура плиты $t_0 = 0$ °С. Необходимо найти термические напряжения. При перечисленных исходных данных число $Bi = 0,5$. Пусть время $\tau = 0,1$ час. Число Фурье $Fo = 0,16$.

Согласно уравнению (22) при коэффициенте геометрической формы $k = 3$ для пластины получим: $m = 1 + 0,5/3 = 7/6$; $D = 3/7$; $\rho = D^2/45 = 4 \cdot 10^{-3}$; $\gamma \approx 1 + \rho = 1,004$ и окончательно первый корень $\mu_1 = \sqrt{3/7/1,004} = 0,6533$. Второй корень по формуле (23)

при $G_1 = Bi/\pi = 0,5/\pi$; $\rho = G_1^2/D = (0,5/\pi)^2/(3/7) = 0,0591$; $\gamma \approx 1 + \rho = 1,0591$; второй корень $\mu_2 = \pi + G_1/\gamma = \pi + 0,5/\pi/1,0591 = 3,2919$. Отношение корней

$\delta = (\mu_1/\mu_2)^2 = (0,6533/3,2919)^2 = 0,03938$; $m_2 = \delta m_1 = 0,03938 \cdot 7/6 = 0,04594$. Разность квадратов

$a = \mu_2^2 - \mu_1^2 = 3,2919^2 - 0,6533^2 = 10,4098$. Амплитуды:

$P_1 = 2/(1 + 0,5 + 6/7) = 0,8498$; $P_2 = 2/(1 + 0,5 + 1/0,04594) = 0,08596$; $M_1 = P_1 \cdot m_1 = 0,8498 \cdot 7/6 = 0,9914$; $M_2 = P_2 \cdot m_2 = 0,08596 \cdot 0,04594 = 0,0039$; $A_1 = P_1 \sqrt{1 + m_1 Bi} = 0,8498 \times \sqrt{1 + 0,5 \cdot 7/6} = 1,0693$; $A_2 = -P_2 \sqrt{1 + Bi m_2} = -0,08596 \times \sqrt{1 + 0,5 \cdot 0,04594} = -0,087$. Температура на поверхности по уравнению (5) $\theta_n = P_1 \cdot ex_1 + P_2 ex_2 = 0,8498 \times 0,934 + 0,08596 \times 0,1766 = 0,8089$, где $ex_1 = \exp(-\mu_1^2 Fo) = \exp(-0,6533^2 \cdot 0,16) = 0,9340$; $ex_2 = \exp(-\mu_2^2 Fo) = \exp(-3,2919^2 \cdot 0,16) = 0,1766$.

Температура в центре по (6) $\theta_{ц} = A_1 ex_1 + A_2 ex_2 = 1,0693 \cdot 0,934 - 0,087 \cdot 0,1766 = 0,9834$. Среднемассовая

по формуле (7) $\theta_{cp} = M_1 ex_1 + M_2 ex_2 = 0,9914 \cdot 0,934 + 0,039 \cdot 0,1766 = 0,9267$. Окончательно термические напряжения на поверхности по уравнению (2)

$\tilde{\sigma}_n = \theta_{cp} - \theta_n = 0,9267 - 0,8089 = 0,118$ и в центре по (3)

$\tilde{\sigma}_{ц} = \theta_{cp} - \theta_{ц} = 0,9267 - 0,9834 = -0,057$. Расчет $\tilde{\sigma}_n$ по

уравнению (52) при $y = Bi \sqrt{Fo} = 0,5 \sqrt{0,16} = 0,2$ с учетом

$\varphi(0,2) = 0,808$, рассчитанной по (50), дает

$\tilde{\sigma}_n = -1,128 \cdot 2 \cdot 0,2 + (1+2)(1-0,808) = 0,1218$. Полученные

результаты хорошо согласуются с данным [4] по которым $\tilde{\sigma}_n = 0,122$ с погрешностью $\Pi_n = 3,1\%$ и

$\tilde{\sigma}_{ц} = 0,055$ с $\Pi_{ц} = 3,6\%$. Максимальные времена с учетом

коэффициентов по (35) $b_n = 0,068$; $b = 0,052$ и

$b_{ц} = 0,0337$: $Fo_{m,n} = (1/a) \ln(1/b_n) = (1/10,41) \ln(1/0,068) =$

$= 0,258$; $Fo_{max} = 0,284$ и $Fo_{m,ц} = 0,326$. Тогда максимальные

напряжения по уравнениям (15) $\tilde{\sigma}_{m,n} = (1-\delta) \times$

$\times (M_1 - P_1) \exp(-\mu_1^2 Fo_{m,n}) = (1-0,03938)(0,9914 - 0,8498) \times$

$\exp(-0,6533^2 \cdot 0,258) = 0,1218$ и согласно (16) $\tilde{\sigma}_{m,ц} =$

$= (1-\delta)(M_1 - A_1) \exp(-\mu_1^2 Fo_{m,ц}) = (1-0,03938)(0,9914 - 1,0693) \times$

$\exp(-0,6533^2 \cdot 0,326) = -0,0651$.

Выводы

1. Разработана инженерная методика роста термических напряжений при конвективном нагреве (охлаждении) плоских тел. Получены простые и эффективные формулы для двух предельных случаев малых и больших чисел Био. Сделан акцент на определение максимальных термонапряжений и времени их наступления.